

Tecnica delle Costruzioni
Prof.: Fontanari Vigilio

Matteo Dalle Vedove

Anno Accademico 2020-2021
3 maggio 2021

Indice

I	Meccanica dei solidi	2
1	Tensori	3
2	Solidi di Cauchy e analisi di tensione	4
2.1	Azioni di volume e di superficie	4
2.2	Solidi di Cauchy	4
2.2.1	Componenti del vettore tensione	5
2.2.2	Tensore di Cauchy	6
3	Analisi di deformazione	7
4	Problema generale della meccanica dei solidi	8
5	Materiale elastico	9
6	Limiti del modello lineare elastico e crisi del componente	10
II	Analisi di elementi monodimensionali	11
7	La trave	12
8	Modello di Saint Venant	13
8.1	Stato tensionale	14
8.1.1	Equilibrio indefinito, condizioni al contorno e legame costitutivo	15

Parte I

Meccanica dei solidi

Capitolo 1

Tensori

Capitolo 2

Solidi di Cauchy e analisi di tensione

La **meccanica dei solidi**, il cui primo sviluppo fu dovuto a Cauchy, supera l'approccio particellare della **materia** che viene invece considerata come un **solido continuo**. In particolare ogni volume elementare viene scomposto in volumi elementari infinitesimi caratterizzati dalle stesse proprietà del materiale.

Nota: Un volume elementare, per poter pensare che abbia una distribuzione di proprietà uniforme, prevede che esso sia composto da milioni di atomi; tuttavia questo insieme, dal punto di vista macroscopico, è molto piccolo (e dunque infinitesimo).

2.1 Azioni di volume e di superficie

Per effettuare la descrizione di un solido nella meccanica dei solidi è dunque necessario capire come è possibile rappresentare le azioni che agiscono sullo stesso.

Concetto 2.1: Si definiscono le **azioni di volume** tutte quelle che agiscono su tutto il volume, mentre sono **azioni di superficie** quelle che si manifestano sul contorno del sistema di analisi (come per esempio la pressione di un fluido).

Definita l' **azione di volume intensiva** \mathbf{q}_v che agisce sul corpo, il contributo di azione infinitesima associato ad ogni volume elementare è dunque calcolato come

$$d\mathbf{F}_v = \mathbf{q}_v dV \quad (2.1)$$

Analogamente nota l' **azione di superficie intensiva** \mathbf{p} che si espleta su una superficie Ω , la forza dovuta all'elemento infinitesimo può essere calcolata come

$$d\mathbf{F}_\Omega = \mathbf{p} \cdot d\Omega \quad (2.2)$$

2.2 Solidi di Cauchy

A questo punto è lecito cercare di capire quale sia l'effetto delle azioni intensive \mathbf{q}_v e \mathbf{p} . Per iniziare ad analizzare questi effetti, si consideri un piano del corpo di versore normale $\hat{\mathbf{n}}$ passante per un generico punto A di area Ω . Rispetto alla superficie tagliata a livello locale si determinano delle azioni di reazione \mathbf{R} e di momento \mathbf{M} ; per il principio di azione reazione sulla superficie opposta Ω^- (di versore $-\hat{\mathbf{n}}$) si dovranno dunque istituire delle reazioni $\mathbf{R}^- = -\mathbf{R}$ e $\mathbf{M}^- = -\mathbf{M}$.

L'idea è dunque quella di rendere tali relazioni sulle reazioni interne indipendenti dalla superficie effettuando i rapporti \mathbf{R}/Ω e \mathbf{M}/Ω , ponendo il limite della superficie al valore infinitesimo.

Concetto 2.2: Si definiscono i **solidi di Cauchy** tutti quei solidi il cui limite dell'azione interna riferita all'area tende ad un vettore univoco detto **vettore di tensione** \mathbf{t} , misurato in *Pascal*, calcolato come

$$\mathbf{t} = \lim_{\Omega \rightarrow 0} \frac{\mathbf{R}}{\Omega} \quad \left[\frac{N}{m^2} \right] = [Pa] \quad (2.3)$$

mentre deve essere nullo il limite rispetto al momento:

$$\lim_{\Omega \rightarrow 0} \frac{\mathbf{M}}{\Omega} = 0$$

Nota: Esistono dei solidi, detti **polari** o **di Cosserat** (che non vengono studiati in questo corso) per cui

$$\lim_{\Omega \rightarrow 0} \frac{\mathbf{M}}{\Omega} = \boldsymbol{\mu} \neq \mathbf{0}$$

E' possibile osservare che il vettore della tensione \mathbf{t} dipende:

- dalla posizione A rispetto alla quale si effettua il taglio del volume, rappresentato dal vettore posizione \mathbf{r}_A . In questo caso essendo la tensione dipendente dalla posizione, allora a livello matematico essa è definita tramite un **campo vettoriale**;
- dalla direzione \mathbf{n} del versore della sezione rispetto alla quale si effettua il limite.

Potendo esprimere il vettore tensione come $\mathbf{t} = \mathbf{t}(\mathbf{r}_A, \hat{\mathbf{n}})$ e per via del principio di azione-reazione sulle due facce della superficie di taglio è possibile osservare che

$$\mathbf{t}(\mathbf{r}_A, -\hat{\mathbf{n}}) = -\mathbf{t}(\mathbf{r}_A, \hat{\mathbf{n}})$$

Il vettore della tensione \mathbf{t} viene calcolato partendo da un versore $\hat{\mathbf{n}}$ predeterminato, tuttavia a livello reale è possibile determinare infiniti valori di tensione associate alle infinite direzioni che può assumere $\hat{\mathbf{n}}$.

2.2.1 Componenti del vettore tensione

Si consideri un piano Π di normale $\hat{\mathbf{n}}$ tagliante il solido di Cauchy nel punto A ; su tale superficie è possibile determinare due versori $\hat{\mathbf{r}}, \hat{\mathbf{q}}$ mutuamente perpendicolari che, insieme al versore $\hat{\mathbf{n}}$, permettono di determinare una base ortonormale dello spazio tridimensionale.

Concetto 2.3: Potendo definire il vettore di tensione \mathbf{t}_n rispetto al piano individuato, è possibile calcolare le **componenti di tensione** nella terna di versori $\hat{\mathbf{n}}, \hat{\mathbf{r}}, \hat{\mathbf{q}}$ effettuando il prodotto scalare tra tensione e versore:

$$t_{nn} = \mathbf{t}_n \cdot \hat{\mathbf{n}} \quad t_{qn} = \mathbf{t}_n \cdot \hat{\mathbf{q}} \quad t_{rn} = \mathbf{t}_n \cdot \hat{\mathbf{r}} \quad (2.4)$$

In particolare il termine t_{nn} rappresenta l' **azione di trazione/compressione** che, moltiplicata per l'area di Π , agisce sulla superficie, mentre le componenti t_{qn} e t_{rn} rappresentano le **azioni di scorrimento**. Da queste definizioni è anche possibile definire la **componente totale di scorrimento**

$$|\tau_{qn}| = \sqrt{t_{qn}^2 + t_{rn}^2}$$

Dato in generale un sistema di riferimento cartesiano è possibile esprimere il **vettore di tensione** ottenuto da una superficie di versore $\hat{\mathbf{n}}$ come

$$\mathbf{t}_n = (t_{xn}, t_{yn}, t_{zn}) \quad (2.5)$$

Nota: Dato un sistema di riferimento cartesiano, ogni versore utilizzato può essere descritto da una terna dei suoi coseni direttori, ossia $\hat{\mathbf{n}} = (\alpha_x, \alpha_y, \alpha_z)$, $\hat{\mathbf{q}} = (\gamma_x, \gamma_y, \gamma_z)$ e $\hat{\mathbf{r}} = (\beta_x, \beta_y, \beta_z)$. In maniera più esplicita il vettore di tensione di normale $\hat{\mathbf{n}}$ può dunque essere espresso come

$$\mathbf{t}_n = (t_{nn}, t_{qn}, t_{rn}) = (\mathbf{t}_n \cdot \hat{\mathbf{n}}, \mathbf{t}_n \cdot \hat{\mathbf{q}}, \mathbf{t}_n \cdot \hat{\mathbf{r}})$$

2.2.2 Tensore di Cauchy

Si consideri un sistema di riferimento cartesiano di versori $\hat{\mathbf{u}}, \hat{\mathbf{j}}, \hat{\mathbf{k}}$ centrato nel punto di taglio A . Considerando che il piano di taglio Π abbia versore normale il vettore $\hat{\mathbf{i}}$ (piano perpendicolare all'asse x), allora è possibile calcolare il **vettore di tensione** rispetto a tale direzione di taglio; in particolare applicando l'equazione 2.4 si ricava il vettore

$$\mathbf{t}_x = (t_{xx}, t_{yx}, t_{zx})$$

Per analogia se si suppone di tagliare il solido rispetto ad un piano di normale $\hat{\mathbf{j}}$ si ottiene il vettore $\mathbf{t}_y = (t_{xy}, t_{yy}, t_{zy})$, mentre tagliando lungo $\hat{\mathbf{k}}$ il vettore $\mathbf{t}_z = (t_{xz}, t_{yz}, t_{zz})$.

Concetto 2.4: I vettori $\mathbf{t}_x, \mathbf{t}_y, \mathbf{t}_z$ appena descritti rappresentano le **componenti speciali di tensione**; questi vettori rappresentano la base rispetto alla quale ogni altro vettore di tensione può essere espresso mediante combinazione lineare. Questi vettori danno origine al **tensore di Cauchy** \mathcal{S} definito come

$$\mathcal{S} = [\mathbf{t}_x \mid \mathbf{t}_y \mid \mathbf{t}_z] = \begin{bmatrix} \sigma_{xx} & \tau_{xy} & \tau_{xz} \\ \tau_{yz} & \sigma_{yy} & \tau_{yz} \\ \tau_{zx} & \tau_{zy} & \sigma_{zz} \end{bmatrix}$$

Nota: E' possibile osservare dunque le componenti a trazione (del tipo t_{xx}) vengono sostituite dalla lettera greca $\sigma_{xx} = \sigma_x$, mentre le componenti di taglio (del tipo t_{xy}) vengono sostituite dall'espressione τ_{xy} .

Capitolo 3

Analisi di deformazione

Capitolo 4

Problema generale della meccanica dei solidi

Capitolo 5

Materiale elastico

Capitolo 6

Limiti del modello lineare elastico e crisi del componente

Parte II

Analisi di elementi monodimensionali

Capitolo 7

La trave

Capitolo 8

Modello di Saint Venant

Il modello più semplice per studiare una trave è formulato da Saint Venant che, tramite delle opportune ipotesi semplificative, permette di facilitare la descrizione del problema.

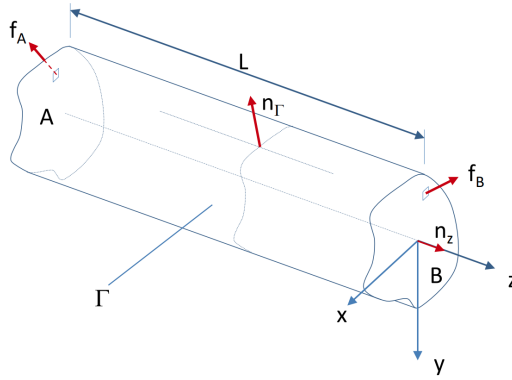


Figura 8.1: schema di riferimento della trave di Saint Venant

Concetto 8.1: Il **solido di Saint Venant**, figura 8.1, è descritto da una trave di lunghezza L sull'asse congiungente gli estremi A e B . La terna di riferimento per l'analisi è posta con z coincidente all'asse della trave, mentre gli assi x, y sono posti in modo da formare un **sistema baricentrico principale** (per cui $I_{xy} = S_x = S_y = 0$). Le **ipotesi semplificative** necessarie per utilizzare il modello sono:

- che la lunghezza L dell'asse sia di molto maggiore delle lunghezze caratteristiche delle sezioni. La trave deve essere rettilinea (o con raggio di curvatura molto alto) e la sezione deve essere costante (o variare blandamente lungo l'asse) e sempre perpendicolare all'asse in ogni punto della trave;
- che il mantello Γ sia scarico e che non siano presenti azioni di volume \mathbf{b} . L'unico carico esterno che può essere applicato deve essere posto in corrispondenza delle basi A e B .

In generale nota la distribuzione di azioni superficiali \mathbf{f}_A su una base (A in questo caso), è possibile creare un sistema staticamente equivalente di risultante \mathbf{R}_A e momento \mathbf{M}_A rispetto al sistema baricentrico della trave:

$$\mathbf{R}_A = \int_{\Omega_A} \mathbf{f}_A d\Omega \quad \mathbf{M}_A = \int_{\Omega_A} \mathbf{r} \times \mathbf{f}_A d\Omega$$

In condizioni statiche è inoltre necessario che la risultante delle forze sul corpo sia nulla, da cui l'equazione $\mathbf{R}_A + \mathbf{R}_B = \mathbf{0}$, mentre bilanciando il momento rispetto al polo A si ricava che $\mathbf{M}_A + \mathbf{M}_B + \mathbf{O}_A \mathbf{O}_B \times \mathbf{R}_B = \mathbf{0}$.

Concetto 8.2: Si definisce dunque il **postulato di Saint Venant** per il quale *noto che sulle basi A, B della trave la tensione interna coincide con quella applicata dalle forze distribuite $\mathbf{f}_A, \mathbf{f}_B$, ad una distanza paragonabile alla dimensione caratteristica massima della base lo stato di tensione non dipende più dalla distribuzione delle azioni \mathbf{f} , ma solamente dalla risultante delle forze \mathbf{R} e dal momento risultante \mathbf{M} .*

La distanza dalla base rispetto alla quale lo stato di tensione dipende solamente dalla risultante è chiamata **distanza di estinzione**; nella fascia compresa tra base e distanza di estinzione non vale dunque il modello di Saint Venant.

Osservazione: La distanza di estinzione è tanto minore quanto più compatta è la sezione della trave stessa.

8.1 Stato tensionale

Nel modello di Saint Venant è possibile considerare la trave come composta da delle fibre longitudinali (lungo l'asse z) che possono reagire solamente a sforzi normali σ_{zz} e ad azioni tangenziali del tipo τ_{xz}, τ_{yz} ; le altre azioni infatti sarebbero attivate solamente in corrispondenza di azioni sul mantello, cosa che per ipotesi del modello è scartata.

In generale il modello può essere accettato fintanto che $\sigma_{xx}, \sigma_{yy}, \tau_{xy} \ll \sigma_{zz}, \tau_{xz}, \tau_{yz}$ e dunque il **tensore di Cauchy** si riduce ad uno stato tensionale piano del tipo

$$\mathbf{S} = \begin{bmatrix} 0 & 0 & \tau_{xz} \\ 0 & 0 & \tau_{yz} \\ \tau_{xz} & \tau_{yz} & \sigma_{zz} \end{bmatrix} \Rightarrow \boldsymbol{\sigma}_{zz} = \sigma_{zz} \hat{\mathbf{k}} \quad \boldsymbol{\tau} = \tau_{yz} \hat{\mathbf{i}} + \tau_{xz} \hat{\mathbf{j}} \quad (8.1)$$

Come è possibile osservare ogni vettore di tensione può essere scomposto in una componente normale alle sezioni $\boldsymbol{\sigma}_{zz}$ e in una componente di tipo tangenziale $\boldsymbol{\tau}$.

Concetto 8.3: La **soluzione** del problema di Saint Venant si basa dunque sul determinare il **campo scalare** associato all'azione normale $\sigma_{zz}(x, y)$ e al **campo vettoriale** $\boldsymbol{\tau}(x, y)$ associato alle componenti tangenziali.

Per il postulato di Saint Venant è possibile osservare che le componenti da determinare $\sigma_{zz}, \tau_{xz}, \tau_{yz}$ (funzioni della posizione), oltre la distanza di estinzione, sono indipendenti delle azioni di superficie \mathbf{f} ma dipendono solamente dalle risultanti delle forze $\mathbf{R} = (T_x, T_y, N)$ e dei momenti $\mathbf{M} = (M_x, M_y, M_z)$.

Concetto 8.4: Nelle fasce di validità del modello di Saint Venant è dunque possibile istituire un' **equivalenza statica** tra le azioni staticamente equivalenti \mathbf{R}, \mathbf{M} e lo stato di tensione interno e dunque:

$$\begin{aligned} T_x &= \int_{\Omega_s} \tau_{xz}(x, y) d\Omega_s & T_y &= \int_{\Omega_s} \tau_{yz}(x, y) d\Omega_s \\ N &= \int_{\Omega_s} \sigma_{zz}(x, y) d\Omega_s & M_z &= \int_{\Omega_s} (x \tau_{yz}(x, y) - y \tau_{xz}(x, y)) d\Omega_s \\ M_x &= \int_{\Omega_s} y \sigma_{zz}(x, y) d\Omega_s & M_y &= \int_{\Omega_s} x \sigma_{zz}(x, y) d\Omega_s \end{aligned} \quad (8.2)$$

Osservazione: Osservando l'equivalenza statica nel modello di Saint Venant (eq. 8.2) è possibile osservarle come la reazione normale N e i momenti flettenti M_x, M_y siano associati

solamente al campo scalare σ_{zz} , e dunque ad un tensore del tipo

$$\mathcal{S} = \begin{bmatrix} 0 & 0 & 0 \\ 0 & 0 & 0 \\ 0 & 0 & \sigma_{zz} \end{bmatrix}$$

Al contrario il momento torcente M_z è associato alla presenza delle componenti τ_{xz} e τ_{yz} che, di conseguenza, generano delle azioni taglienti T_x, T_y ; queste azioni di fatto determinano il tensore di Cauchy del tipo

$$\mathcal{S} = \begin{bmatrix} 0 & 0 & \tau_{xz} \\ 0 & 0 & \tau_{yz} \\ \tau_{xz} & \tau_{yz} & 0 \end{bmatrix}$$

8.1.1 Equilibrio indefinito, condizioni al contorno e legame costitutivo

Equilibrio indefinito Come visto nell'equazione 8.1, lo stato tensionale di una trave sotto le ipotesi di Saint Venant è piano; considerando che per ipotesi le azioni di volume sono nulle ($\mathbf{b} = \mathbf{0}$) allora è possibile riscrivere le **equazioni di equilibrio indefinito** per il problema come:

$$\frac{\partial \tau_{xz}}{\partial z} = 0 \quad \frac{\partial \tau_{yz}}{\partial z} = 0 \quad \frac{\partial \tau_{xz}}{\partial x} + \frac{\partial \tau_{yz}}{\partial y} + \frac{\partial \sigma_{zz}}{\partial z} = 0$$

Le prime due equazioni dimostrano dunque che le **componenti tangenziali** τ_{xz}, τ_{yz} del vettore $\boldsymbol{\tau}$ sono **indipendenti** dalla coordinata assiale z , mentre la terza equazione lega la divergenza del campo delle azioni di taglio con la variazione lungo l'asse z di σ_{zz} :

$$\text{div}(\boldsymbol{\tau}) = -\frac{\partial \sigma_{zz}}{\partial z} \begin{cases} = 0 & : \text{campo solenoidale, linee di flusso chiuse} \\ \neq 0 & : \text{campo non solenoidale, linee di flusso aperte} \end{cases}$$

Condizioni al contorno L'ipotesi di Saint Venant afferma che il mantello sia sempre scarico; scelto un qualsiasi punto sull contorno avente direzione normale uscente $\hat{\mathbf{n}}_\Gamma = (\alpha_x, \alpha_y, 0)$ al punto considerato sul mantello Γ , allora si deve verificare che lo stato di tensione in quel punto sia nullo:

$$\begin{bmatrix} 0 & 0 & \tau_{xz} \\ 0 & 0 & \tau_{yz} \\ \tau_{xz} & \tau_{yz} & \sigma_{zz} \end{bmatrix} \begin{pmatrix} \alpha_x \\ \alpha_y \\ 0 \end{pmatrix} = \begin{pmatrix} 0 \\ 0 \\ 0 \end{pmatrix} \quad \Rightarrow \quad \tau_{xz}\alpha_x + \tau_{yz}\alpha_y = \boldsymbol{\tau} \cdot \hat{\mathbf{n}}_\Gamma = 0 \quad \Leftrightarrow \quad \boldsymbol{\tau} \perp \hat{\mathbf{n}}_\Gamma$$

Si osserva dunque che sul mantello il vettore delle tensioni tangenziali $\boldsymbol{\tau}$ deve necessariamente essere ortogonale alla normale del mantello $\hat{\mathbf{n}}_\Gamma$ (e dunque deve essere tangente alla superficie del mantello Γ stesso).

Nota: In questo caso il versore $\hat{\mathbf{n}}_\Gamma$ presenta l'ultima componente nulla in quanto, per ipotesi, la sezione è costante lungo l'asse della trave, e dunque il mantello non può avere componente normale nell'asse z . In caso di variazioni blande della sezione si avrebbe l'introduzione di tale fattore, che tuttavia sarebbe approssimabile al valore nullo.